

روش برنامه ریزی استوار امکانی در مدل سازی مسئله شبکه زنجیره تأمین حلقه بسته تحت عدم قطعیت

جاوید قهرمانی نهر

عضو هیئت علمی پژوهشکده توسعه و برنامه ریزی جهاد دانشگاهی، تبریز، ایران

Javid.ghahremani@yahoo.com

مریم محرومی

کارشناس پژوهشی پژوهشکده توسعه و برنامه ریزی جهاد دانشگاهی، تبریز، ایران

Maryam.moh91@yahoo.com

سعیده صمدزاد

عضو هیئت علمی پژوهشکده توسعه و برنامه ریزی جهاد دانشگاهی، تبریز، ایران

Saeede.samadzad@gmail.com

چکیده

در این مقاله به طراحی یک شبکه زنجیره تأمین حلقه بسته با هدف کاهش هزینه‌های کل شبکه زنجیره تأمین، تحت عدم قطعیت تقاضا، نرخ بازگشت محصولات و هزینه‌های حمل و نقل پرداخته شده است. شبکه زنجیره تأمین پیشنهادی شامل سطوح تأمین کننده مواد اولیه، مرکز تولیدی و بازار دست دوم در زنجیره تأمین روبه‌جلو و مرکز انهدام، مرکز بازیافت و بازار دست اول در زنجیره تأمین رو به عقب می‌باشد. برای کنترل پارامترهای غیرقطعی مسئله از برنامه ریزی استوار امکانی استفاده شد. برای ارزیابی مدل و همچنین بررسی متغیرهای خروجی، یک مسئله نمونه طراحی و حدود بازه‌ای پارامترهای مسئله نشان داده شد. با حل مسئله توسط نرم‌افزار GAMS مشاهده گردید، با افزایش نرخ عدم قطعیت، مقدار هزینه‌های کل شبکه زنجیره تأمین به دلیل افزایش تقاضای بازار دست اول و دوم افزایش یافت. همچنین مشاهده شد با کاهش هزینه کمبود، مقدار کمبود کاهش و درنتیجه آن هزینه‌های کل شبکه زنجیره تأمین کاهش پیدا کرده است.

واژگان کلیدی: طراحی شبکه زنجیره تأمین، برنامه ریزی استوار امکانی، مکانیابی-تخصیص

مقدمه

زنگیره تأمین، تنها در برگیرنده تأمین کنندگان و تولیدکنندگان نبوده، بلکه علاوه بر آن بخش‌های حمل و نقل، عمده فروشان، خرده فروشان و حتی مشتری‌های آنان نیز از دیگر اجزای زنگیره به حساب می‌آیند. در حقیقت هدف اولیه هر زنگیره تأمین، برآوردن نیازهای مشتریان می‌باشد و نتیجه این فرآیند، کسب سود و درآمد برای تولیدکننده و دیگر عناصر درگیر در زنگیره خواهد بود. به طور کلی، حرکت مواد از تأمین کنندگان به تولیدکنندگان و سپس به توزیع کنندگان و خرده فروشان و درنهایت به مشتریان نهایی در طول زنگیره، سیر فعالیت‌های زنگیره تأمین را نشان می‌دهد. از آنجایی که زنگیره تأمین پویاست و همواره جریان مدامی از اطلاعات، پول و محصول در بین مراحل مختلف آن وجود دارد توجه به این موضوع ضروری است که این جریان‌های مدام در هر دو جهت زنگیره تأمین می‌باشند، در حالی که به طور سنتی جهت جریان محصول به سمت مشتری و جهت جریان پول به سمت تأمین کننده فرض شده است (Abdallah et al., 2012). در یک زنگیره تأمین، تولیدکننده ممکن است مواد اولیه خود را به جای یک تأمین کننده از چندین تأمین کننده فراهم نماید و از سوی دیگر محصولات خود را به تعداد زیادی توزیع کننده ارسال کند. بنابراین، بسیاری از زنگیره‌های تأمین به صورت شبکه‌های تأمین می‌باشند. در یک تعریف جامع می‌توان بیان نمود که یک زنگیره تأمین شامل همه مراحلی (اعضای زنگیره) است که به طور مستقیم یا غیرمستقیم در برآورده سازی خواسته‌های مشتریان نقش دارد. در واقع این زنگیره، تمامی موارد مرتبط با شبکه تدارکات را در بر می‌گیرد که شامل تأمین کنندگان، مراکز تولیدی، انبارها، مراکز توزیع، بازار خرده فروشان، مشتریان و همچنین مواد خام، موجودی‌های در حال ساخت و محصولات نهایی جاری بین آن‌ها می‌شود (Ghahremani et al., 2018).

اجزای زنگیره تأمین

الف) زنگیره تأمین بالادست: این بخش شامل اقداماتی است که یک شرکت در پیوند با تأمین کنندگانش در اولین لایه و ارتباط آن‌ها با تأمین کنندگان لایه‌های پایین‌تر انجام می‌دهد. روابط تأمین کنندگان می‌تواند در سطوح مختلف تا اولین تأمین کننده مواد توسعه یابد. در این قسمت، فعالیت‌های اصلی تأمین و تهیه است (Ghahremani et al., 2018).

ب) زنگیره تأمین داخلی: این بخش شامل همه پردازش‌های استفاده شده به وسیله یک سازمان در تبدیل داده‌های حمل شده به سازمان به وسیله تأمین کنندگان به خروجی‌های است از زمانی که مواد وارد سازمان می‌شود تا زمانی که محصول نهایی برای توزیع به خارج سازمان حرکت می‌کند. فعالیت‌های اصلی این قسمت شامل حمل مواد، مدیریت موجودی، ساخت و کنترل کیفیت است.

ج) زنگیره تأمین پایین‌دست: این بخش شامل همه فرآیندهای درگیر در توزیع و تحویل محصولات به مشتریان نهایی می‌باشد. خیلی زیاد مشاهده می‌شود که زنگیره تأمین، وقتی محصول واگذار یا مصرف گردد، پایان می‌پذیرد. فعالیت‌های اصلی این قسمت شامل بسته‌بندی، انبار و حمل است. این فعالیت‌ها ممکن است با استفاده از چندین توزیع کننده انجام شود مانند عمده فروشان و خرده فروشان. این قسمت می‌تواند به سمت راست به همین ترتیب گسترش یابد (diabat et al., 2015).

هدف زنگیره تأمین

هدف هر زنگیره تأمین، حداکثر کردن ارزش کل تولید شده است که در واقع اختلاف بین ارزش محصول نهایی برای مشتری و هزینه‌ای است که زنگیره تأمین در تلاش خود برای ارضاء خواسته مشتری صرف کرده است. در اغلب زنگیره‌های تأمین تجاری، ارزش باقابلیت سودآوری زنگیره تأمین ارتباط تنگاتنگی دارد. قابلیت سودآوری زنگیره تأمین، تفاوت بین آنچه که از مشتری به دست می‌آید و هزینه کلی است که در طول زنگیره تأمین صرف شده است. در واقع، سود نهایی است که بین تمام مراحل زنگیره تأمین تقسیم می‌شود. هر چه این قابلیت بیشتر باشد موفقیت زنگیره تأمین نیز بیشتر می‌باشد (Ghahremani et al., 2019) هر مرحله چون حداکثر بودن سود هر مرحله الزاماً به حداکثر شدن قابلیت سودآوری زنگیره تأمین نمی‌انجامد.

کاهش هزینه زنجیره تأمین

شاخص اصلی بهبودی زنجیره تأمین، کاهش هزینه است. این کوشش‌ها برای استراتژی‌ها و سیاست‌های کارایی انجام می‌شود. پنج دلیل اصلی هزینه زایی عبارت‌اند از (Kaya and urek, 2016):

- عدم وضوح فرآیند زنجیره تأمین
- تغییرات رویه‌های داخلی و خارجی شرکت
- ضعف موجود در طراحی تولید
- وجود اطلاعات ناقص برای تصمیم‌گیری

انواع زنجیره تأمین

۱- زنجیره تأمین مستقیم: زنجیره مستقیم یا شبکه توزیع درواقع نماینده نگاه سنتی در مدیریت زنجیره تأمین است. زنجیره مستقیم به مراحلی اشاره دارد که محصول از مبدأ تأمین‌کننده تا مقصد مشتری نهایی را در زنجیره تأمین طی می‌کند. بنابراین بر هزینه‌های زنجیره تأمین و رضایتمندی مشتریان تأثیر مستقیم داشته و رانه کلیدی در سودآوری کلی زنجیره محسوب می‌شود (Ghahremani et al., 2019).

۲- زنجیره تأمین معکوس: زنجیره تأمین معکوس نماینده نگاه نوین به زنجیره تأمین در قالب مدیریت زنجیره تأمین سبز می‌باشد. دلایل متعددی مانند توسعه پایدار، نگرانی‌های زیستمحیطی، کمبود انرژی، کاهش منابع طبیعی و همچنین مسائلی مانند استفاده مجدد از محصولات معیوب، کاهش هزینه‌های بازگشت محصولات مرجوعی و بهبود آوازه شرکت موجب افزایش توجه به مدیریت زنجیره معکوس گردیده است. زنجیره تأمین معکوس به مراحلی اشاره دارد که محصول برگشتی از مشتری نهایی تا مرحله بازگشت مجدد به بازار یا حذف از زنجیره را طی می‌کند. مشتری به دلایلی مانند پایان عمر محصول، خرابی محصول، از رده خارج شدن محصول و یا ملاحظات زیستمحیطی، محصول را بر می‌گرداند و محصول یا بخشی از آن با طی مراحلی مانند جمع‌آوری، مونتاژ، بازگردانی، بازیافت و حذف دوباره به زنجیره بازگردانده شده و یا از زنجیره خارج می‌شود. عمدتاً فرایندهای موجود در زنجیره‌های معکوس شامل جمع‌آوری، مرتب‌سازی و دسته‌بندی محصولات مرجوعی، انتقال محصولات مرجوعی به تسهیلات بازگردانی و بازیافت، انتقال محصولات قابل بازگردانی به تسهیلات تعمیر یا تولید مجدد و درنهایت حذف محصولات مرجوعی غیرقابل تعمیر می‌شود. به طور کلی زنجیره معکوس با ۴ اصل کاهش، جایگزینی، استفاده مجدد و بازیافت سروکار دارد (Ghahremani et al., 2019).

۳- زنجیره تأمین حلقه بسته: زنجیره معکوس به دو نوع حلقه بسته و حلقه باز تفکیک می‌شود. لجستیک معکوس ارتباط بین بازار محصولات جدید و بازار محصولات مرجوعی برقرار می‌کند. در صورتی که این دو بازار بر هم منطبق شوند، شبکه حلقه بسته و در غیر این صورت حلقه باز نامیده می‌شود. به عبارت ساده‌تر در صورتی که لجستیک مستقیم و معکوس یکپارچه شوند، تحت عنوان لجستیک حلقه بسته خوانده می‌شود. به عنوان نمونه، محصولات مرجوعی از دو مسیر به زنجیره مستقیم بر می‌گردند: ۱- در صورتی که بازیابی شوند، به عنوان محصول جدید بر می‌گردند. ۲- در صورتی که بازیابی نشوند، اجزا سالم آن به عنوان ماده اولیه برگشته و یا بازیافت می‌شوند. مشتری در زنجیره تأمین مستقیم و معکوس: در زنجیره تأمین مستقیم جریان محصول یا خدمت به مشتری ختم می‌شود و در

زنگیره معکوس جریان از مشتریان آغازشده و در تسهیلات زنگیره معکوس ادامه می‌یابد و ممکن است به مشتری

برگردد (Ghahremani et al., 2019).

با توجه به مطالب بیان شده، در این مقاله به طراحی یک شبکه زنگیره تأمین حلقه بسته تحت عدم قطعیت تقاضا و هزینه‌های حمل و نقل پرداخته شده است. هدف اصلی این تحقیق کمینه‌سازی هزینه‌های مکان‌یابی و تخصیص در یک شبکه زنگیره تأمین می‌باشد. برای کنترل پارامترهای غیرقطعی از روش بهینه‌سازی استوار امکانی بهره گرفته شده و داده‌های غیرقطعی به صورت فازی ذوزنقه‌ای در نظر گرفته شده است. درنتیجه برای دست‌یابی به بهینه‌ترین هزینه باستی دو تصمیم استراتژیکی و تاکنیکی (مکان‌یابی تسهیلات و تعیین مقدار بهینه جریان تسهیلات) به درستی اتخاذ گردد. این مقاله به بررسی توأم این دو تصمیم استراتژیکی تحت یک مدل ریاضی می‌پردازد.

پیشینه تحقیق

سلیمانی و همکاران در سال ۲۰۱۷ به بررسی یک مسئله طراحی زنگیره تأمین حلقه بسته، از جمله تأمین کنندگان، تولیدکنندگان، مرکز توزیع، مشتریان، مراکز انبار، مراکز برگشت و مراکز بازیافت پرداخته است که این مسئله شامل سه گزینه در مورد بازیافت، یعنی بازیافت محصول و اجزای بازیافت مواد اولیه است. مدل سازی این زنگیره با حسابداری از ملاحظات زیستمحیطی، بهینه‌سازی کل سود و کاهش روزهای کاری گمشده در اثر حوادث شغلی انجام شده است، همچنین حداکثر پاسخگویی به تقاضای مشتری داده شده است. بهمنظور حل مدل، از الگوریتم ژنتیکی استفاده شده و سناریوهای متعدد با جنبه‌های مختلف موردنظری قرار گرفته است. حل این مدل تصمیماتی را در مورد بازیافت مدل ارائه شده و قابلیت استفاده از روش راه حل توسعه‌یافته را نشان داده است (Soleimani et al., 2017). پاندا و همکاران نیز در سال ۲۰۱۷ به بررسی اثرات مسئولیت اجتماعی شرکت (CSR) پرداخته است و هماهنگی کانال در یک زنگیره تأمین حلقه بسته تولیدکننده-خردهفروشان با مسئولیت اجتماعی را با در نظر گرفتن دو حوزه حداکثر سود و مسئولیت اجتماعی از طریق بازیافت محصول بررسی کرده است. تولیدکننده مسئولیت اجتماعی دارد و با بازیافت محصول مورداستفاده که از طریق خردهفروش با استفاده از کانال معکوس جمع‌آوری می‌کند، آن را به نمایش می‌گذارد. مشخص شده است که انگیزه حداکثر سود غیرفعال کانال از طریق عمل CSR حاشیه سود بالاتری را نسبت به سود حداکثر رساندن هدف و قرارداد تقسیم درآمد ایجاد می‌کند که تضاد کانال را برطرف می‌کند. بازیافت یک عامل اساسی برای قیمت عمده‌فروشی و از این‌رو سود خالص سازنده است زیرا تغییر آن ممکن است به کاهش یا افزایش حتی قیمت عمده‌فروشی منفی منجر شود. بنابراین، باید محدودیتی از بازیافت برای سود بهینه داشته باشید. برای بهترین عملکرد کانال، تولیدکننده کلیه درآمدی را که از طریق بازیافت به صورت پاداش به دست می‌آورد، به خردهفروش ارائه می‌دهد. بنابراین، CSR صرفاً یک تلاش گران برای تولیدکننده است (Panda et al., 2017). امین و همکاران در سال ۲۰۱۷ در تحقیق خود یک شبکه CLSC با تولید مجدد لاستیک را بر اساس گزینه‌های بازیابی تایر طراحی و بهینه کرده است که هدف مدل ارائه شده بهینه‌سازی حداکثر سود کل می‌باشد. کاربرد این مدل بر اساس یک شبکه واقع‌بینانه در تورنتو، کانادا با استفاده از نقشه موربدیخت قرار گرفته است. وی در این مدل از یک روش جدید مبتنی بر درخت تصمیم استفاده کرده است تا ارزش فعلی خالص مسئله را در چندین دوره تحت منابع مختلف عدم اطمینان مانند تقاضا و بازده محاسبه کند. علاوه بر این، جریان نقدی تخفیف در این روش به عنوان یک رویکرد نوآورانه جدید در نظر گرفته شده است. این روش می‌تواند در مقایسه سودآوری گزینه‌های مختلف طراحی برای زنگیره تأمین حلقه بسته به کار رود (Amin et al., 2017).

امین و باکی همچنین در سال ۲۰۱۷ در یک بررسی با در نظر گرفتن عوامل جهانی، از جمله نرخ ارز و عوارض گمرکی، یک مدل ریاضی برای یک شبکه زنگیره تأمین حلقه بسته ارائه داده است. مدل ارائه شده یک مدل برنامه‌نویسی خطی چندمنظوره مخلوط عدد صحیح است که تحت تقاضای نامشخص می‌باشد. وی یک روش راه حل مبتنی بر برنامه‌نویسی فازی برای حل

مسئله بهینه‌سازی ارائه کرده است، سپس مدل را در یک شبکه اعمال می‌کند که در جنوب غربی انتاریو، کانادا واقع شده است و تجزیه و تحلیل حساسیت به اعتبار مدل را ارائه می‌کند. مدل ارائه شده عوامل جهانی، چند هدف و عدم قطعیت را هم‌زمان در یک شبکه زنجیره تأمین حلقه بسته در نظر می‌گیرد (Amin and Baki, 2017). اوزجیلان و همکاران در سال ۲۰۱۷ افزایش نگرانی‌های زیستمحیطی و اجتماعی در سراسر جهان باعث ایجاد انگیزه در تولیدکنندگان و مصرف‌کنندگان برای اجرای استراتژی‌های بازیافت مانند بازیابی محصول، مدیریت پسماند یا استفاده از مواد بازیافتی می‌شود. علاوه بر نگرانی‌های زیستمحیطی و اجتماعی، در بعضی از کشورها قوانین بازیافت محصولاتی مانند وسایل نقلیه پایان عمر (ELV) را نیز مجبور می‌کنند. تولیدکنندگان خودرو در ترکیه وظیفه بازگرداندن رایگان ELV ها را از مصرف‌کنندگان برای ادغام مجدد قطعات استفاده شده به صنعت را طبق مقررات ELV توسط وزارت محیط‌زیست و شهرسازی جمهوری ترکیه انجام می‌دهند. با توجه به انگیزه ذکر شده، در این مطالعه زنجیره تأمین حلقه بسته، بر اساس یک مطالعه موردی با توجه به درمان ELVs در ترکیه ارائه شده است. یک مدل برنامه‌نویسی خطی برای رسیدگی به جریان مواد معکوس با توجه به ادغام مجدد آن‌ها در زنجیره‌های عرضه روبه‌جلو ایجاد شده است. چندین سناریو CLSC برای نشان دادن عملکرد مدل پیشنهادی و کاربرد آن در صنعت خودرو موربدیحث قرار گرفته است (Özceylan et al., 2017). صاحب‌جم نیا و همکاران در سال ۲۰۱۸ یک مدل برنامه‌ریزی خطی عدد صحیح مخلوط چنددهدفه برای طراحی شبکه زنجیره تأمین حلقه بسته با تایر پایدار ارائه داده است. مدل ارائه شده باهدف بهینه‌سازی کل هزینه، تأثیرات زیستمحیطی در ایجاد تسهیلات، پردازش لاستیک و حمل و نقل بین هر سطح و همچنین تأثیرات اجتماعی از جمله فرصت‌های شغلی و خسارت کار می‌باشد. برای کاهش اشکالات الگوریتم‌های متاهیوریستیک موجود هنگام حل شبکه‌ها در مقیاس بزرگ، چهار الگوریتم متاهیوریستیک هیبریدی جدید بر اساس مزایای موارد جدید و قدیمی توسعه داده شده است. برای ارزیابی کیفیت الگوریتم‌های ترکیبی پیشنهادی، آزمایش‌های محاسباتی گسترده، مقایسه و تحلیل حساسیت با معیارهای مختلف انجام شده دارد. نتایج نشان می‌دهد که الگوریتم‌های ترکیبی رویکردهای مؤثر برای حل مشکل اساسی در شبکه‌های بزرگ هستند (Sahebjamnia et al., 2018). فتح الهی فرد و همکاران نیز در سال ۲۰۱۸ در تحقیقی یک مدل برنامه‌نویسی سه‌سطحی را برای طراحی اولین تخصیص مکان از تایر CLSC ارائه کرده است. مدل ارائه شده در بازی استاتیک استاکلبرگ بین تولیدکنندگان، توزیع کنندگان و جمع‌آوری کنندگان در چارچوب CLSC فرموله شده است. این راه حل برای حل مشکلات در مقیاس بزرگ امکان‌پذیر نمی‌باشد. برای حل این اشکال، در این مطالعه تعدادی از بهینه‌سازهای هیبریدی جدید با در نظر گرفتن مزایای فراشناختی اخیر پیشنهاد شده است. یک مطالعه مقایسه‌ای گسترده، کارایی مدل توسعه‌یافته و عملکرد بهینه‌سازهای هیبریدی را که هنگام حل مشکلات در مقیاس بزرگ پیشنهاد شده است، تأیید می‌کند (Fathollahi fard et al., 2018).

همچنین حاجی آقایی و همکاران در سال ۲۰۱۸ در مطالعه‌ای، یک مدل برنامه‌نویسی عدد صحیح مخلوط جدید ایجاد کرده تا با توجه به فرض تخفیف در هزینه‌های حمل و نقل برای اولین بار، یک طرح شبکه زنجیره تأمین حلقه‌ای پایدار چندمنظوره ایجاد کند. برای پرداختن به مشکل، نه تنها از استعاره سنتی و اخیر استفاده شده بلکه الگوریتم‌ها با توجه به نقاط قوت خود بهویژه در تشدید و متنوع سازی، ترکیبی می‌شوند. برای ارزیابی اثربخشی این الگوریتم‌ها، آن‌ها با چهار معیار ارزیابی برای تجزیه و تحلیل بهینه پارتو با یکدیگر مقایسه می‌شوند. اگرچه نتایج حاکی از عملکرد سه الگوریتم هیبریداسیون جدید پیشنهادی است، KAGA در مقایسه با سایرین راه حل‌های بهتری به دست می‌آورد، اما به زمان بیشتری نیاز دارد و در پایان، یک نمونه صنعتی واقعی در صنعت شیشه را برای تأیید مدل پیشنهادی و الگوریتم‌ها معرفی کرده است (Hajiaghaei keshteli et al., 2018). جبار زاده و همکاران در سال ۲۰۱۸ در طرحی یک مدل بهینه‌سازی تصادفی مستقل برای طراحی شبکه زنجیره تأمین حلقه بسته ارائه کرده است که در صورت بروز اختلالات، به صورت انعطاف‌پذیر عمل می‌کند. مدل ارائه شده قادر به در نظر گرفتن ترابری جانبی به عنوان یک استراتژی واکنش برای مقابله با خطرات عملیاتی و اختلال است. هدف این است که تصمیمات مربوط به مکان تأسیسات و مقادیر حمل و نقل جانبی که حداقل هزینه زنجیره تأمین را در سناریوهای مختلف

اختلال به حداقل می‌رساند، تعیین شود. یک الگوریتم آزادسازی لاگرانژ برای حل کارآمد مدل استوار ایجادشده است. بیشتر ممکن مدیریتی از اجرای مدل در یک مطالعه موردی از صنعت شیشه به دست می‌آید (Jabbarzadeh et al., 2018). حدادی ساخت و همکاران در سال ۲۰۱۸ به طراحی یک شبکه زنجیره تأمین حلقه بسته را بهینه کرده است که جریان در هر دو جهت روبه‌جلو و معکوس را در بر می‌گیرد و در تقاضا برای هر دو محصول جدید و بازگشتی در معرض عدم اطمینان است. مدل ارائه شده یک برنامه استوار / تصادفی ترکیبی سه مرحله‌ای است که ترکیبی از سناریوهای احتمالی برای مطالبات و مقادیر برگشتی با مجموعه‌های عدم اطمینان برای نرخ مالیات کربن را نشان می‌دهد. تصمیمات مرحله اول سرمایه‌گذاری تسهیلات است، مرحله دوم مربوط به برنامه توزیع کالاهای جدید و جمع‌آوری شده پس از تحقق مطالبات و بازده است و تعداد واحدهای حمل و نقل در حالت‌های مختلف تصمیمات مرحله سوم است. تصمیمات مرحله دوم و سوم ممکن است با تحقق نرخ مالیات کربن تنظیم شود. نتایج محاسباتی نشان می‌دهد که تنظیم جریان محصول به نرخ مالیات از مزایای ناچیز برخوردار است، اما امکان تنظیم ظرفیت‌های حالت حمل و نقل می‌تواند جایگزین ساخت تسهیلات اضافی به عنوان روشی برای پاسخ به عدم قطعیت مالیات کربن شود (Haddadisakht et al., 2018). در سال ۲۰۱۹، مردان و همکاران تحقیقی یک مدل ریاضی جامع برای زنجیره تأمین حلقه بسته سبز چند دوره، چند محصول، چند مدل و دو هدف را ارائه داده است که هدف از این مدل، به حداقل رساندن کل هزینه و انتشار گازهای محيطی از طریق تصمیم‌گیری در مورد مکان تأسیسات، مبلغ حمل و نقل و مانده موجودی می‌باشد. با توجه به پیچیدگی ذاتی مشکل و در نظر گرفتن مفروضات چند محصول، چند دوره و چند حالت کار را دشوار می‌کند و در مورد راه حل، الگوریتم تجزیه بندرز شتاب مؤثر اجراسده است. سپس، نتایج محاسباتی برای مجموعه‌ای از مثال‌های عددی مورد بحث قرار گرفته است. سپس، یک تحلیل حساسیت در تلاش برای اعتبارسنجی مدل انجامشده است. نتایج نشان می‌دهد که رویکرد راه حل پیشنهادی منجر به کاهش بیش از ۱۳ درصد کل هزینه موردی شده و حتی می‌تواند برای کاربردهای صنعتی بزرگ‌تر و پیچیده‌تر در دنیای واقعی مورد استفاده قرار گیرد (Mardan et al., 2019).

یادگاری و همکاران در سال ۲۰۱۹ یک بررسی، برای بهبود استراتژی‌هایی برای پیکربندی هم‌زمان زنجیره‌های عرضه و روبه‌جلو، یک الگوریتم ممتیک (MA) با روش رمزگذاری / رمزگشایی مبتنی بر اولویت (EPb) مبتنی بر یک استراتژی جستجوی انعطاف‌پذیر محله ترکیبی (NS) ارائه داده است. علاوه بر این، برای جلوگیری از فرآیند تعمیر وقت‌گیر در نمایندگی محلول گستاخ است، روشی برای تبدیل نمایندگی گستاخ به روش مداوم ارائه داده است و سرانجام، برای سرعت بخشیدن به الگوریتم پیشنهادی، باز پخت شبیه‌سازی چندمرحله‌ای (MSA) در MA تعیینه شده است. نتایج ابتدا با حالات تجاری مقایسه شده و سپس با سایر الگوریتم‌های ژنتیکی (GA) و کارشناسی ارشد موجود در ادبیات با روش‌های مختلف رمزگذاری / رمزگشایی و عملگرها مقایسه شده است. همه الگوریتم‌ها برای طراحی شبکه زنجیره تأمین حلقه بسته (CLSCND) که به مکان‌یابی امکانات و همچنین اختصاص جریان محصول و هزینه‌های موجودی در یک محیط چند دوره‌ای می‌پردازد، کاربرد دارند. نتایج نشان‌دهنده کیفیت بالای HMA پیشنهادی است (Yadegari et al., 2019). در سال ۲۰۱۹ یاوری و همکاران در مطالعه‌ای، طرحی از شبکه زنجیره تأمین حلقه بسته سبز برای محصولات قابل تجزیه در شرایط نامشخص را بررسی کرده است. تقاضا، نرخ بازده و کیفیت محصولات بازگشتی به عنوان یک پارامتر نامشخص زنجیره در نظر گرفته شده است. بر اساس مطالعه یک شرکت لبنیات، کالایی چند دوره‌ای و چند محصولی است که شامل تأمین کنندگان، تولیدکنندگان، انبارها، خرده‌فروشان و مراکز جمع‌آوری است. در این تحقیق یک مدل برنامه‌ریزی خطی مخلوط عدد صحیح (MILP) پیش‌بینی شده است که به طور هم‌زمان هزینه و آلاینده محیط‌زیست را به حداقل می‌رساند. علاوه بر این، یک مدل استوار نواورانه برای مشکل تحت عدم اطمینان ایجادشده است. با توجه به ماهیت NP-Hard، این تحقیق یک اکتشافی کارآمد به نام YAG برای حل مشکلات در بعد بزرگ ایجاد کرده است. آزمایش‌های محاسباتی انجامشده نشان می‌دهد که روش YAG دارای فاصله متوسط کمتر از ۱.۶۵ درصد از محلول بهینه در یک زمان معقول است. همچنین، روش YAG در بیش از ۳۴ درصد موارد، راه حل بهینه را پیدا می‌کند. عملکرد رویکرد استوار و روش اکتشافی در یک مطالعه موردی واقعی و طیف متنوعی از مشکلات بررسی شده است. نتایج نشان می‌دهد که مدل استوار در مقایسه با مدل قطعی از کیفیت بهتری برخوردار بوده و به نظر می‌رسد بسیار مطمئن‌تر

است. تأثیر طول عمر محصول، مدل سازی دو هدف و آلینده محیط زیست در طول مطالعه در نظر گرفته شده است. نتایج نشان می دهد که اثرات طول عمر و سطح عدم اطمینان محصولات برای هزینه و اهداف آلودگی محیط متفاوت است (Yavari et al., 2019).

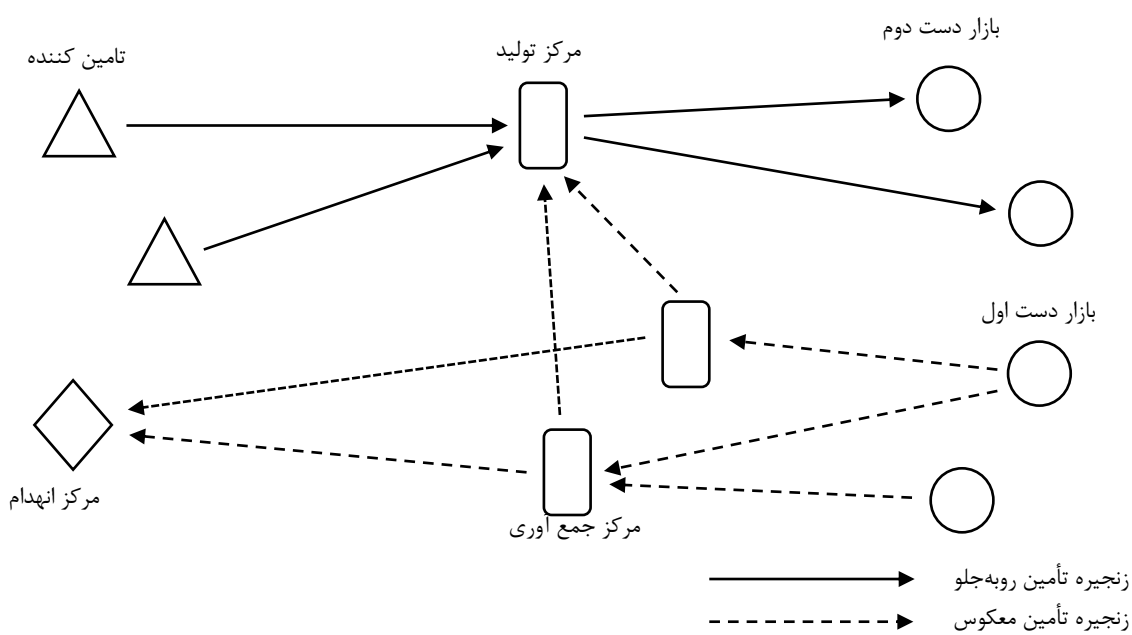
سعادی نیا و همکاران در سال ۲۰۱۹ در تحقیقی، یک مدل برنامه نویسی عدد صحیح مخلوط غیرخطی پیشنهاد کرده است تا قیمت و موقعیت تسهیلات را در یک شبکه زنجیره تأمین حلقه بسته در صنعت فناوری اطلاعات و ارتباطات (ICT) در نظر بگیرد تا سود کل به دست آمده با فروش محصولات جدید ICT به دست آید. ساختار این شبکه شامل تأمین کنندگان، مراکز جمع آوری و توزیع (مراکز C-D)، مراکز جداسازی قطعات و مناطق مشتری می باشد. در مراکز C-D یک سیاست موجودی بررسی مستمر اعمال می شود و فرض بر این است که زمان انجام سفارشات تصادفی است. علاوه بر این، مراکز C-D با کمبود موافق هستند و تقاضای همبستگی بین مناطق مشتری وجود دارد که برای حل این مشکل از دو الگوریتم فرا اکتشافی استفاده کرده اند: یک الگوریتم رقابتی امپریالیستی (ICA) و یک الگوریتم ژنتیکی (GA). همچنین مراحل رمزگذاری و رمزگشایی این الگوریتم ها ارائه شده است. برای تجزیه و تحلیل عملکرد مدل ارائه شده و رویکردهای راه حل، یک مورد واقعی زنجیره تأمین حلقه بسته ICT در ایران مورد بررسی قرار گرفته است. تجزیه و تحلیل حساسیت به منظور بررسی تأثیر پارامترهای مدل بر تصمیمات و سود بهینه پیاده سازی می شود. نتایج عددی نحوه اختصاص تسهیلات به یکدیگر، مدیریت موجودی و تعیین قیمت محصولات ICT را نشان می دهد. بنابراین مدل و روش های پیشنهادی می توانند به شرکت های فناوری اطلاعات و ارتباطات در تعیین سیاست های خود برای دستیابی به سود حداکثر کمک کنند (Saedinia et al., 2019).

با توجه به پیشینه تحقیقات ارائه شده در این مقاله یک مدل شبکه زنجیره تأمین حلقه بسته باهدف کاهش هزینه های کل شبکه زنجیره تأمین در شرایط عدم قطعیت ارائه شده است. برای دستیابی به تابع هدف ذکر شده بایستی دو تصمیم استراتژیکی زیر اتخاذ گردد:

- تعداد بهینه تسهیلاتی نظیر مراکز جمع آوری و تولید چقدر است؟
- مقدار بهینه جریان تسهیلات بین سطوح مختلف شبکه زنجیره تأمین چقدر است؟

روش تحقیق

در این مقاله و مطابق با شکل (۱)، یک شبکه زنجیره تأمین حلقه بسته با در نظر گرفتن دو بازار دستاول و دست دوم مدل سازی شده است. در این شکل، ابتدا محصولات بازگشتی از بازار دستاول توسط مراکز جمع آوری، جمع آوری و ذخیره شده و پس از بازررسی با توجه به نیاز بازار دست دوم، محصولات قابل استفاده به مرکز تولید و محصولات غیرقابل استفاده به مرکز انهدام ارسال می گردد، مرکز تولید نیز با توجه به تقاضای بازار دست دوم از محصولات، برخی از محصولات بازار دستاول را به بازار دست دوم انتقال داده و مابقی محصولات مورد نیاز را از تأمین کننده دریافت و پس از تولید محصولات جدید به بازار دستاول انتقال می دهد. در این مقاله مکان تسهیلات جمع آوری و تولید به صورت بالقوه در نظر گرفته شده و همچنین تقاضاهای بازار دستاول و دست دوم و همچنین هزینه های حمل و نقل به صورت عدم قطعیت لحاظ شده است.



شکل ۱- شبکه زنجیره تأمین حلقه بسته پیشنهادی

در ادامه مجموعه، پارامترها و متغیرهای تصمیم گیری مسئله شرح داده شده است.

مجموعه ها:

$i = \{1, \dots, I\}$	مجموعه تأمین کننده ها	I
$j, j' = \{1, \dots, J\}$	مجموعه مراکز تولیدی	J
$l = \{1, \dots, L\}$	مجموعه بازار دست دوم	L
$k = \{1, \dots, K\}$	مجموعه بازار دستاول	K
$c = \{1, \dots, C\}$	مجموعه مراکز جمع آوری	C
$d = \{1, \dots, D\}$	مجموعه مراکز انهدام	D
$p = \{1, \dots, P\}$	مجموعه محصولات	P
$m = \{1, \dots, M\}$	مجموعه مواد اولیه	M
$t = \{1, \dots, T\}$	مجموعه دوره زمانی	T

پارامترها:

هزینه تأسیس مرکز جمع آوری	H_c
هزینه تأسیس مرکز تولید j	U_j

هزینه حمل و نقل به ازای هر واحد محصول p بین مراکز جمع آوری C و بازار دستاول k در دوره زمانی t	$\bar{T}r_{ckpt}$
هزینه حمل و نقل به ازای هر واحد محصول p بین مرکز جمع آوری C و مرکز انهادم d در دوره زمانی t	$\bar{T}r_{cdpt}$
هزینه حمل و نقل به ازای هر واحد محصول p بین مرکز جمع آوری C و مرکز تولید \bar{J} در دوره زمانی t	$\bar{T}r_{cjpt}$
هزینه حمل و نقل به ازای هر واحد محصول p بین مرکز تولید \bar{J} و بازار دست دوم l در دوره زمانی t	$\bar{T}r_{jlpt}$
هزینه حمل و نقل به ازای هر واحد ماده اولیه m بین مرکز تأمین کننده i و مرکز تولید \bar{J} در دوره زمانی t	$\bar{T}r_{ijmt}$
هزینه تولید به ازای یک واحد محصول p توسط مرکز تولید \bar{J}	Cc_{jp}
مقدار محصولات برگشتی p از بازار دستاول k در دوره زمانی t	Φ_{kpt}
مقدار تقاضای بازار دست دوم l از محصولات باز تولید p در دوره زمانی t	\bar{D}_{lpt}
درصد کاهش ظرفیت مرکز جمع آوری C برای محصول p در دوره زمانی t	γ_{cpt}
درصد کاهش ظرفیت انبار مرکز تولید \bar{J} برای محصول p در دوره زمانی t	α_{jpt}
درصد کاهش ظرفیت مرکز تولید \bar{J} برای محصول p در دوره زمانی t	β_{jpt}
درصد کاهش ظرفیت مرکز انهادم d برای محصول p در دوره زمانی t	δ_{dpt}
درصد کاهش ظرفیت تأمین کننده i برای ماده اولیه m در دوره زمانی t	τ_{imt}
درصد انهادم برای محصول p در دوره زمانی t	λ_{pt}
حداکثر ظرفیت مرکز تولید \bar{J} از محصول p	a_{jp}
حداکثر ظرفیت مرکز تولید \bar{J} از محصول p	b_{jp}
حداکثر ظرفیت مرکز انهادم d از محصول p	f_{dp}
حداکثر ظرفیت تأمین کننده i از ماده اولیه m	ε_{im}
حداکثر ظرفیت مرکز جمع آوری C از محصول p	$capC_{cp}$
هزینه جریمه مواجهه با کمبود در بازار دست دوم l از محصول p در دوره زمانی t	π_{lpt}
هزینه نگهداری محصول p در انبار مرکز تولید \bar{J} از در انتهای دوره زمانی t	h_{jpt}
مقدار ماده اولیه m موردنیاز برای تولید یک محصول نهایی p	ξ_{mp}
مقدار ماده اولیه m به دست آمده از بازیافت محصول p	X_{mp}

متغیرهای تصمیم:

مقدار محصول انتقال یافته p بین مرکز جمع آوری C و مرکز انهادم d در دوره زمانی t	U_{cdpt}
مقدار محصول انتقال یافته p بین مرکز جمع آوری C و مرکز تولید \bar{J} در دوره زمانی t	W_{cjpt}
مقدار ماده اولیه انتقال یافته p بین تأمین کننده i و مرکز تولید \bar{J} در دوره زمانی t	X_{ijmt}
مقدار محصول انتقال یافته p بین مرکز تولید \bar{J} و بازار دست دوم l در دوره زمانی t	V_{jlpt}
مقدار محصول انتقال یافته p بین مراکز تولید \bar{J} و \bar{J}' در دوره زمانی t	$N_{jj'pt}$
کل مقدار محصول جمع آوری شده p توسط مرکز جمع آوری C از بازار دستاول k در دوره زمانی t	V'_{ckpt}
درصورتی که مرکز جمع آوری C تأسیس گردد، مقدار ۱ و در غیر این صورت ۰ می گیرد.	Y_c
درصورتی که مرکز تولید \bar{J} تأسیس گردد، مقدار ۱ و در غیر این صورت ۰ می گیرد.	Z_j
مقدار کمبود رخداده در بازار دست دوم l از محصول p در دوره زمانی t	O_{lpt}
مقدار موجودی ذخیره شده در انبار مرکز تولید \bar{J} از محصول p در انتهای دوره زمانی t	G_{jpt}
مقدار محصول تولید شده p در مرکز تولیدی \bar{J} در دوره زمانی t	Q_{jpt}

مدل سازی شبکه چند سطحی زنجیره تأمین حلقه بسته در حالت غیر قطعی

با توجه به بیان مجموعه ها، پارامترها و متغیرهای تصمیم بیان شده، مسئله طراحی شبکه چند سطحی زنجیره تأمین حلقه

بسته به عنوان یک مدل برنامه ریزی ریاضی خطی عدد صحیح مختلط به صورت ذیل مدل سازی می شود:

$$\begin{aligned} \text{Min} \omega = & \sum_{c=1}^C H_c Y_c + \sum_{j=1}^J U_j Z_j + \sum_{c=1}^C \sum_{k=1}^K \sum_{v=1}^V \sum_{t=1}^T \widetilde{Tr}_{ckpt} V'_{ckpt} + \sum_{c=1}^C \sum_{d=1}^D \sum_{p=1}^P \sum_{t=1}^T \widetilde{Tr}_{cdpt} U_{cdpt} + \\ & \sum_{c=1}^C \sum_{j=1}^J \sum_{p=1}^P \sum_{t=1}^T \widetilde{Tr}_{cjpt} W_{cjpt} + \sum_{i=1}^I \sum_{j=1}^J \sum_{m=1}^M \sum_{t=1}^T \widetilde{Tr}_{ijmt} X_{ijmt} + \sum_{j=1}^J \sum_{l=1}^L \sum_{p=1}^P \sum_{t=1}^T \widetilde{Tr}_{jlpt} V_{jlpt} + \\ & \sum_{j=1}^J \sum_{j'=1}^{j \neq j'} \sum_{p=1}^P \sum_{t=1}^T \widetilde{Tr}_{jj'pt} N_{jj'pt} + \sum_{l=1}^L \sum_{p=1}^P \sum_{t=1}^T \pi_{lpt} O_{lpt} + \sum_{j=1}^J \sum_{p=1}^P \sum_{t=1}^T h_{jpt} G_{jpt} + \sum_{j=1}^J \sum_{p=1}^P \sum_{t=1}^T C_{jp} Q_{jpt} \quad (1) \end{aligned}$$

$$\sum_{c=1}^C V'_{ckpt} \geq \tilde{\Phi}_{kpt}, \quad \forall c, p, t \quad (2)$$

$$\sum_{k=1}^K V'_{ckpt} \leq (1 - \gamma_{cpt}) cap C_{cp} Y_c, \quad \forall c, t \quad (3)$$

$$\lambda_{pt} \sum_{k=1}^K V'_{ckpt} = \sum_{d=1}^D U_{cdpt}, \quad \forall c, p, t \quad (4)$$

$$(1 - \lambda_{pt}) \sum_{k=1}^K V'_{ckpt} = \sum_{j=1}^J W_{cjpt}, \quad \forall c, p, t \quad (5)$$

$$\sum_{j=1}^J V_{jlpt} + O_{lpt} \geq \tilde{D}_{lpt}, \quad \forall l, p, t \quad (6)$$

$$G_{jpt} = G_{jpt-1} + Q_{jpt} + \sum_{j'=1}^J N_{j'jpt} - \sum_{j'=1}^J N_{jj'pt} - \sum_{l=1}^L V_{jlpt}, \quad \forall j, p, t \quad (7)$$

$$\sum_{p=1}^P \xi_{mp} Q_{jpt} \leq \sum_{i=1}^I X_{ijmt} + \sum_{c=1}^C \sum_{p=1}^P \chi_{mp} W_{cjpt}, \quad \forall m, t \quad (8)$$

$$G_{jpt} \leq (1 - \alpha_{jpt}) a_{jp} Z_j, \quad \forall j, p, t \quad (9)$$

$$Q_{jpt} \leq (1 - \beta_{jpt}) b_{jp} Z_j, \quad \forall j, p, t \quad (10)$$

$$\sum_{c=1}^C U_{cdpt} \leq (1 - \delta_{dpt}) f_{dp}, \quad \forall d, p, t \quad (11)$$

$$\sum_{j=1}^J X_{ijmt} \leq (1 - \tau_{imt}) \varepsilon_{im}, \quad \forall i, m, t \quad (12)$$

$$U_{cdpt}, W_{cjpt}, X_{ijmt}, V_{jlpt}, N_{jj'pt}, V'_{ckpt}, O_{lpt}, G_{jpt}, Q_{jpt} \geq 0 \quad (13)$$

$$Y_c, Z_j \in \{0,1\} \quad (14)$$

رابطه (۱) مقدار تابع هدف مسئله را نشان می‌دهد و شامل کمینه‌سازی مقدار کل هزینه‌های شبکه زنجیره تأمین حلقه بسته می‌باشد. رابطه (۲) کل میزان جریان محصولات برگشتی را که توسط مراکز جمع‌آوری، جمع‌آوری شده‌اند نشان می‌دهد. محدودیت (۳) حداقل ظرفیت حمل و نقل محصولات را توسط وسیله نقلیه در دسترس نشان می‌دهد. رابطه (۴) مقدار محصول انتقال یافته از مرکز جمع‌آوری به مرکز انهدام را نشان می‌دهد. رابطه (۵) نیز درصدی از محصولات قابل استفاده مجدد را که از مرکز جمع‌آوری به مرکز تولید ارسال می‌شود، نشان می‌دهد. رابطه (۶) مقدار برآورد تقاضای بازار دست دوم را نشان می‌دهد. رابطه (۷) معادله تعادل در مرکز تولید را نشان می‌دهد و شامل مقدار محاسبه موجودی در انتهای هر دوره زمانی می‌باشد. رابطه (۸) مقدار مواد اولیه موردنیاز برای تولید محصولات جدید را نشان می‌دهد و مقدار محصول نهایی برابر است با مقدار محصولات برگشتی از بازار دست دوم و مواد اولیه تبدیل شده به محصول نهایی از سوی تأمین‌کننده است. رابطه (۹) ظرفیت انبار محصولات نهایی در انتهای هر دوره زمانی را نشان می‌دهد. رابطه (۱۰) ظرفیت تولید محصولات جدید در مرکز تولید را نشان می‌دهد. رابطه (۱۱) و (۱۲) به ترتیب ظرفیت مراکز انهدام و تأمین‌کننده مواد اولیه را نشان می‌دهد. رابطه (۱۳) و (۱۴) نیز نوع و جنس متغیرهای تصمیم‌گیری را نشان می‌دهد.

مدل برنامه‌ریزی استوار امکانی

با توجه به ذات پویا و نوسانی برخی از پارامترهای مهم (از جمله هزینه‌های حمل و نقل، هزینه‌های نگهداری، تقاضا و ظرفیت تسهیلات بالقوه) که تعیین آن‌ها مأمور برنامه‌ریزی است و همچنین در دسترس نبودن و حتی غیرقابل حصول بودن داده‌های تاریخی موردنیاز در مرحله طراحی، این پارامترها عمدتاً با تکیه‌بر نظرات و تجارب ذهنی کارشناسان تخمین زده می‌شود؛ بنابراین، پارامترهای مبهم فوق به عنوان داده غیرقطعی در قالب اعداد فازی ذوزنقه‌ای به شرح زیر فرموله شده است:

$$\widetilde{Tr}_{ckpt} = (Tr_{ckpt}^1, Tr_{ckpt}^2, Tr_{ckpt}^3, Tr_{ckpt}^4)$$

$$\widetilde{Tr}_{cdpt} = (Tr_{cdpt}^1, Tr_{cdpt}^2, Tr_{cdpt}^3, Tr_{cdpt}^4)$$

$$\widetilde{Tr}_{jj'pt} = (Tr_{jj'pt}^1, Tr_{jj'pt}^2, Tr_{jj'pt}^3, Tr_{jj'pt}^4)$$

$$\widetilde{Tr}_{cjpt} = (Tr_{cjpt}^1, Tr_{cjpt}^2, Tr_{cjpt}^3, Tr_{cjpt}^4)$$

$$\widetilde{Tr}_{jlpt} = (Tr_{jlpt}^1, Tr_{jlpt}^2, Tr_{jlpt}^3, Tr_{jlpt}^4)$$

$$\widetilde{Tr}_{ijmt} = (Tr_{ijmt}^1, Tr_{ijmt}^2, Tr_{ijmt}^3, Tr_{ijmt}^4)$$

$$\widetilde{D}_{lpt} = (D_{lpt}^1, D_{lpt}^2, D_{lpt}^3, D_{lpt}^4)$$

$$\widetilde{\Phi}_{kpt} = (\Phi_{kpt}^1, \Phi_{kpt}^2, \Phi_{kpt}^3, \Phi_{kpt}^4)$$

شایان ذکر است که برای تصمیم‌گیری‌های بلندمدت، ارزیابی هزینه حمل و نقل، تقاضا و میزان بازگشت محصولات، سخت و حتی گاهی غیرممکن است. حتی اگر یک نفر بتواند یک تابع توزیع احتمالی برای این پارامترها را برآورد کند، ممکن است که این پارامترها رفتار مشابهی با داده‌های گذشته نداشته باشند. لذا این پارامترها که در یک افق برنامه‌ریزی بلندمدت تغییر می‌کند به عنوان داده‌های فازی در نظر گرفته شده است. مدل نهایی بهینه‌سازی استوار امکانی مسئله طراحی شبکه زنجیره تأمین حلقه بسته پیشنهادی به شرح روابط زیر می‌باشد:

$$Min\omega = E[\omega] + \xi(f_{(\max)} - E[\omega]) + \eta_1 \sum_{t=1}^L \sum_{p=1}^P \sum_{t=1}^T \left[\left(D_{lpt}^4 - D_{lpt}^3 - \varphi(D_{lpt}^4 - D_{lpt}^3) \right) \right] + \\ \eta_2 \sum_{k=1}^K \sum_{p=1}^P \sum_{t=1}^T \left[\left(\phi_{kpt}^4 - \phi_{kpt}^3 - \varpi(\phi_{kpt}^4 - \phi_{kpt}^3) \right) \right]$$

s.t.:

$$E[w] = \sum_{c=1}^C H_c Y_c + \sum_{j=1}^J U_j Z_j + \sum_{c=1}^C \sum_{k=1}^K \sum_{v=1}^V \sum_{t=1}^T \left(\frac{Tr_{ckpt}^1 + Tr_{ckpt}^2 + Tr_{ckpt}^3 + Tr_{ckpt}^4}{4} \right) V'_{ckpt} + \\ \sum_{c=1}^C \sum_{d=1}^D \sum_{p=1}^P \sum_{t=1}^T \left(\frac{Tr_{cdpt}^1 + Tr_{cdpt}^2 + Tr_{cdpt}^3 + Tr_{cdpt}^4}{4} \right) U_{cdpt} + \\ \sum_{c=1}^C \sum_{j=1}^J \sum_{p=1}^P \sum_{t=1}^T \left(\frac{Tr_{cjpt}^1 + Tr_{cjpt}^2 + Tr_{cjpt}^3 + Tr_{cjpt}^4}{4} \right) W_{cjpt} + \\ \sum_{i=1}^I \sum_{j=1}^J \sum_{m=1}^M \sum_{t=1}^T \left(\frac{Tr_{ijmt}^1 + Tr_{ijmt}^2 + Tr_{ijmt}^3 + Tr_{ijmt}^4}{4} \right) X_{ijmt} + \\ \sum_{j=1}^J \sum_{l=1}^L \sum_{p=1}^P \sum_{t=1}^T \left(\frac{Tr_{jlpt}^1 + Tr_{jlpt}^2 + Tr_{jlpt}^3 + Tr_{jlpt}^4}{4} \right) V_{jlpt} + \\ \sum_{j=1}^J \sum_{j'=1}^{j \neq j'} \sum_{p=1}^P \sum_{t=1}^T \left(\frac{Tr_{jj'pt}^1 + Tr_{jj'pt}^2 + Tr_{jj'pt}^3 + Tr_{jj'pt}^4}{4} \right) N_{jj'pt} + \sum_{l=1}^L \sum_{p=1}^P \sum_{t=1}^T \pi_{lpt} O_{lpt} + \\ \sum_{j=1}^J \sum_{p=1}^P \sum_{t=1}^T h_{jpt} G_{jpt} + \sum_{j=1}^J \sum_{p=1}^P \sum_{t=1}^T Cc_{jp} Q_{jpt}$$

$$f_{(\max)} = \sum_{c=1}^C H_c Y_c + \sum_{j=1}^J U_j Z_j + \sum_{c=1}^C \sum_{k=1}^K \sum_{v=1}^V \sum_{t=1}^T Tr_{ckpt}^4 V'_{ckpt} + \sum_{c=1}^C \sum_{d=1}^D \sum_{p=1}^P \sum_{t=1}^T Tr_{cdpt}^4 U_{cdpt} + \\ \sum_{c=1}^C \sum_{j=1}^J \sum_{p=1}^P \sum_{t=1}^T Tr_{cjpt}^4 W_{cjpt} + \sum_{i=1}^I \sum_{j=1}^J \sum_{m=1}^M \sum_{t=1}^T Tr_{ijmt}^4 X_{ijmt} + \sum_{j=1}^J \sum_{l=1}^L \sum_{p=1}^P \sum_{t=1}^T Tr_{jlpt}^4 V_{jlpt} + \\ \sum_{j=1}^J \sum_{j'=1}^{j \neq j'} \sum_{p=1}^P \sum_{t=1}^T Tr_{jj'pt}^4 N_{jj'pt} + \sum_{l=1}^L \sum_{p=1}^P \sum_{t=1}^T \pi_{lpt} O_{lpt} + \sum_{j=1}^J \sum_{p=1}^P \sum_{t=1}^T h_{jpt} G_{jpt} + \sum_{j=1}^J \sum_{p=1}^P \sum_{t=1}^T Cc_{jp} Q_{jpt}$$

$$\sum_{c=1}^C V'_{ckpt} \geq (1 - \varpi)\phi_{kpt}^3 + \varpi\phi_{kpt}^4, \quad \forall c, p, t \quad (18)$$

$$\sum_{k=1}^K V'_{ckpt} \leq (1 - \gamma_{cpt})capC_{cp}Y_c, \quad \forall c, p, t \quad (19)$$

$$\lambda_{pt} \sum_{k=1}^K V'_{ckpt} = \sum_{d=1}^D U_{cdpt}, \quad \forall c, p, t \quad (20)$$

$$(1 - \lambda_{pt}) \sum_{k=1}^K V'_{ckpt} = \sum_{j=1}^J W_{cjpt}, \quad \forall c, p, t \quad (21)$$

$$\sum_{j=1}^J V_{jlpt} + O_{lpt} \geq (1 - \varphi)D_{lpt}^3 + \varphi D_{lpt}^4, \quad \forall l, p, t \quad (22)$$

$$G_{jpt} = G_{jpt-1} + Q_{jpt} + \sum_{j'=1}^J N_{j'jpt} - \sum_{j'=1}^J N_{jj'pt} - \sum_{l=1}^L V_{jlpt}, \quad \forall j, p, t \quad (23)$$

$$\sum_{p=1}^P \xi_{mp} Q_{jpt} \leq \sum_{i=1}^I X_{ijmt} + \sum_{c=1}^C \sum_{p=1}^P \chi_{mp} W_{cjpt}, \quad \forall m, t \quad (24)$$

$$G_{jpt} \leq (1 - \alpha_{jpt}) a_{jp} Z_j, \quad \forall j, p, t \quad (25)$$

$$Q_{jpt} \leq (1 - \beta_{jpt}) b_{jp} Z_j, \quad \forall j, p, t \quad (26)$$

$$\sum_{c=1}^C U_{cdpt} \leq (1 - \delta_{dpt}) f_{dp}, \quad \forall d, p, t \quad (27)$$

$$\sum_{j=1}^J X_{ijmt} \leq (1 - \tau_{imt}) \varepsilon_{im}, \quad \forall i, m, t \quad (28)$$

$$U_{cdpt}, W_{cjpt}, X_{ijmt}, V_{jlpt}, N_{jj'pt}, V'_{ckpt}, O_{lpt}, G_{jpt}, Q_{jpt} \geq 0 \quad (29)$$

$$Y_c, Z_j \in \{0,1\} \quad (30)$$

در تابع هدف اول رابطه (۱۵)، عبارت اول به مقدار مورد انتظار تابع هدف اول با استفاده از مقادیر متوسط پارامترهای غیرقطعی مدل اشاره دارد. عبارت دوم به هزینه جریمه برای انحراف بیش از مقدار مورد انتظار تابع هدف اول (استواری بهینگی) اشاره می‌کند. جمله سوم نیز هزینه کل جریمه انحراف از تقاضا (پارامتر غیرقطعی) را نشان می‌دهد. ازین‌رو، پارامتر ζ ضریب وزنی تابع هدف، η هزینه جریمه عدم برآورده تقاضا می‌باشد. پارامتر ϖ و φ به عنوان ضرایب تصحیح در مقدار سطوح فازی اعداد را نشان می‌دهد که بایستی عددی مابین ۰.۵ و ۱ باشد.

یافته‌ها

در این بخش از مقاله به حل مدل و بررسی متغیرهای خروجی مسئله پرداخته شده است. از این‌رو یک مسئله نمونه مطابق با جدول (۱) طراحی و به دلیل عدم دسترسی به داده‌های واقعی، از داده‌های تصادفی استفاده شده است. جدول (۲) حدود بازه ای پارامترهای قطعی و غیرقطعی مسئله را بر اساس تابع توزیع یکنواخت نشان میدهد. همچنین پارامترهای غیرقطعی مسئله به صورت تابع توزیع ذوزنقه‌ای در نظر گرفته شده و دارای ۴ سطح می‌باشد.

جدول ۱- اندازه مسئله نمونه شبکه زنجیره تأمین پیشنهادی

مجموعه	شرح	تعداد	مجموعه	شرح	تعداد
<i>I</i>	مجموعه تأمین‌کننده‌ها	۵	<i>D</i>	مجموعه مراکز انها	۳
<i>J</i>	مجموعه مراکز تولیدی	۵	<i>P</i>	مجموعه محصولات	۲
<i>L</i>	مجموعه بازار دست دوم	۱۰	<i>M</i>	مجموعه مواد اولیه	۲
<i>K</i>	مجموعه بازار دست اول	۱۲	<i>T</i>	مجموعه دوره زمانی	۳
<i>C</i>	مجموعه مراکز جمع‌آوری	۸			

بر اساس جدول (۱)، ۵ تأمین‌کننده، ۵ مرکز تولیدی، ۱۰ بازار دست اول و ۱۲ بازار دست دوم در ۳ دوره زمانی در نظر گرفته شده است. تعداد مواد اولیه و محصولات نهایی ۲، تعداد مراکز انها ۳ و تعداد مراکز جمع‌آوری ۸ در نظر گرفته شده است.

جدول ۲- حدود بازه ای پارامترهای مسئله بر اساس توزیع یکنواخت

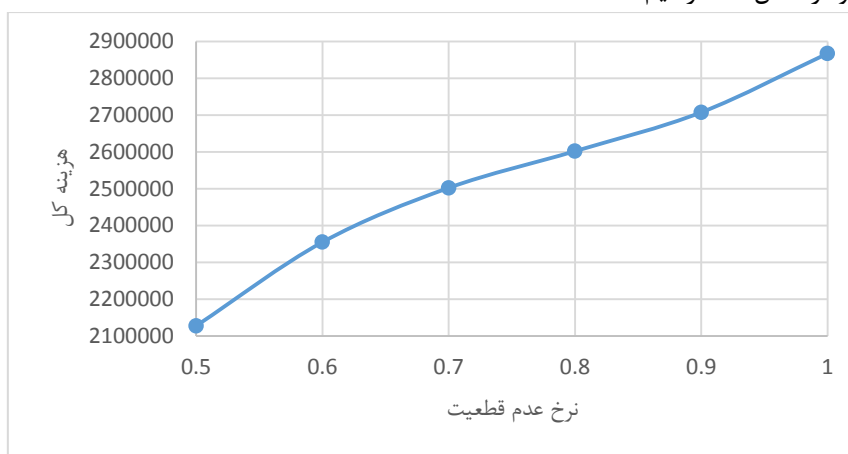
حدود بازه‌ای	پارامتر	حدود بازه‌ای	پارامتر
~U (۳، ۵)	$C_{C_{jp}}$	~U (۱۲۰۰۰، ۱۵۰۰۰)	H_c, U_j
~U (۸۰۰، ۱۰۰۰)	$b_{jp}, f_{dp}, \varepsilon_{im}$	~U (۱۰۰۰، ۱۲۰۰)	$capC_{cp}$
~U (۴، ۵)	h_{jpt}	~U (۱۰۰، ۱۲۰)	π_{lpt}
~U (۳۰۰، ۴۰۰)	a_{jp}	~U (۱، ۳)	ξ_{mp}, χ_{mp}
~U (۰/۲، ۰/۵)	$\delta_{dpt}, \tau_{imt}, \lambda_{pt}$	~U (۰/۲، ۰/۵)	$\gamma_{cpt}, \alpha_{jpt}, \beta_{jpt}$
سطح ۴	سطح ۳	سطح ۲	سطح ۱
~U (۲۵، ۳۰)	~U (۲۰، ۲۵)	~U (۱۵، ۲۰)	~U (۱۰، ۱۵)
~U (۲۰۰، ۴۰۰)	~U (۱۲۰، ۲۰۰)	~U (۱۰۰، ۱۲۰)	~U (۸۰، ۱۰۰)
~U (۱۵۰، ۳۰۰)	~U (۱۰۰، ۱۵۰)	~U (۸۰، ۱۰۰)	~U (۶۰، ۸۰)
پارامتر غیرقطعی			
			$\widetilde{T}r_{jj'pt}, \widetilde{T}r_{ckpt}, \widetilde{T}r_{cdpt},$
			$\widetilde{T}r_{cjpt}, \widetilde{T}r_{jlpt}, \widetilde{T}r_{ljmt}$
			Φ_{kpt}
			\widetilde{D}_{lpt}

پس از حل مسئله مقدار تابع هدف ۲۱۲۷۲۲۲.۹۵۹ به دست آمده است که شامل تأسیس ۴ مرکز جمع‌آوری شماره ۱-۳-۴-۷ و ۳ مرکز تولید شماره ۱-۲-۴ می‌باشد. مقدار تابع هدف فوق در نرخ عدم قطعیت ۰.۵ حاصل شده است. ازین‌رو برای تحلیل حساسیت بیشتر مسئله، مقدار نرخ عدم قطعیت در نرخ‌های مختلف عدم قطعیت بین ۰.۵ تا ۱ تغییر کرده و مقدار تابع هدف و همچنین مکان‌یابی تسهیلات بالقوه در جدول (۳) نشان داده شده است.

جدول ۳- حدود بازه‌ای پارامترهای قطعی و غیرقطعی مسئله بر اساس توزیع یکنواخت

نرخ عدم قطعیت	مقدار تابع هدف	مکان تسهیلات جمع‌آوری	مکان تسهیلات جمع‌آوری تولیدی
۰.۵	۲۱۲۷۲۲۲.۹۵۹	۷-۴-۳-۱	۴-۲-۱
۰.۶	۲۲۵۴۵۶۷.۰۶۴	۷-۶-۵-۴-۱	۴-۲-۱
۰.۷	۲۵۰۲۰۰.۸۱۶	۷-۶-۵-۴-۱	۴-۲-۱
۰.۸	۲۶۰۱۷۸۰.۳۲۲	۷-۶-۴-۳-۱	۴-۳-۲-۱
۰.۹	۲۷۰۷۲۷۶.۰۸۸	۸-۷-۳-۲-۱	۵-۴-۲-۱
۱	۲۸۶۷۰۰.۴۳۹۲	۷-۶-۵-۴-۳-۱	۴-۳-۲-۱

مطابق با جدول (۳) مشاهده می‌شود با افزایش نرخ عدم قطعیت، مقدار تقاضای کل بازار دستاول و دست دوم افزایش یافته و به همین دلیل مقدار انتقال محصولات بین سطوح مختلف افزایش یافته است. از این‌رو هزینه‌های کل شبکه زنجیره تأمین به دلیل افزایش مقدار حمل و نقل، تولید و انهدام افزایش یافته است. برای بررسی روند تغییرات مقدار تابع هدف در مقابل تغییرات نرخ عدم قطعیت، نمودار شکل (۲) ترسیم شده است.



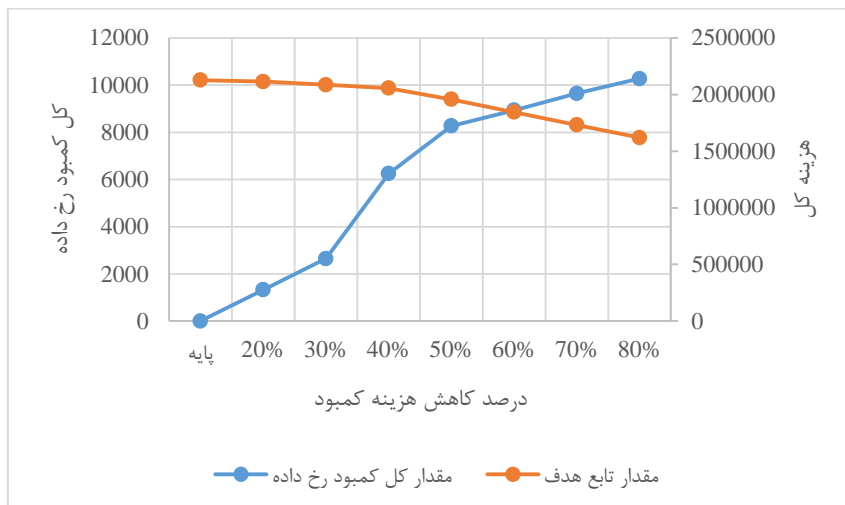
شکل ۲- روند تغییرات مقدار تابع هدف مسئله در مقابل تغییرات نرخ عدم قطعیت

در ادامه به بررسی تغییرات مقدار تابع هدف و مقدار کل کمبود رخ داده در مقابل تغییرات هزینه کمبود پرداخته شده است. از این رو هزینه کمبود به اندازه ۲۰٪ الی ۸۰٪ درصد کاهش یافته و تغییرات مقدار تابع هدف و کمبود در جدول (۴) نشان داده شده است.

جدول ۴- حدود بازه ای پارامترهای قطعی و غیرقطعی مسئله بر اساس توزیع یکنواخت

درصد کاهش هزینه کمبود	مقدار تابع هدف	مقدار کل کمبود رخ داده
پایه	۲۱۲۷۲۲۲.۹۵۹	.
%۲۰	۲۱۱۳۷۹۲.۳۸۹	۱۳۲۶.۴۲۰
%۳۰	۲۰۸۶۴۰۹.۷۰۵	۲۶۵۰.۰۵۲۵
%۴۰	۲۰۵۶۴۳۵.۸۰۹	۶۲۵۰.۰۵۹۶
%۵۰	۱۹۵۷۰۷۰.۶۶۰	۸۲۷۱.۵۴۰
%۶۰	۱۸۴۴۴۹۱.۴۳۶	۸۹۳۶.۲۶۴
%۷۰	۱۷۳۱۹۱۲.۲۱۳	۹۶۴۵.۳۶۴
%۸۰	۱۶۱۹۳۳۲.۹۸۹	۱۰۲۷۱.۵۴۰

با توجه به جدول (۴) مشاهده می گردد با کاهش هزینه کمبود، به دلیل تعادل بین هزینه ها، مقدار کمبود افزایش یافته و به دلیل پایین بودن هزینه کمبود نسبت به هزینه های تولید، سیستم با کمبود بیشتر مواجه شده و هزینه های کل شبکه زنجیره تأمین کاهش پیدا کرده است. در حالت پایه مقدار کمبود برابر ۰ گزارش شده است. در شکل (۳) روند تغییرات مقدار کمبود و هزینه های کل شبکه زنجیره تأمین به ازای تغییرات در هزینه های کمبود نشان داده شده است.



شکل ۳- روند تغییرات مقدار تابع هدف مسئله و کمبود در مقابل تغییرات هزینه کمبود

با توجه به مطالب بیان شده مشاهده شد با افزایش نرخ عدم قطعیت، تعداد تسهیلات جمع آوری و تولید به دلیلی افزایش تقاضای بازار دست دوم و افزایش نرخ برگشت محصولات بازار دست اول، افزایش یافته است. همچنین میتوان بیان کرد که در بدینانه ترین حالت (افزایش ۱۰۰٪ تقاضای بازار دست اول و دوم) هزینه های کل شبکه زنجیره تأمین از مقدار ۲۸۶۷۰۰۴.۳۹۲ بیشتر نخواهد شد.

بحث و نتیجه‌گیری

در این مقاله به طراحی یک شبکه زنجیره تأمین حلقه بسته با هدف کاهش هزینه‌های کل شبکه زنجیره تأمین، تحت عدم قطعیت تقاضا، نرخ بازگشت محصولات و هزینه‌های حمل و نقل پرداخته شد. برای کنترل پارامترهای غیرقطعی مسئله از برنامه‌ریزی استوار امکانی استفاده شد. برای ارزیابی مدل و همچنین بررسی متغیرها خروجی، یک مسئله نمونه طراحی و حدود بازه ای پارامترهای مسئله نشان داده شد. با حل مسئله توسط نرم افزار GAMS مشاهده گردید، با افزایش نرخ عدم قطعیت، مقدار هزینه‌های کل شبکه زنجیره تأمین به دلیل افزایش تقاضای بازار دستاول و دوم افزایش یافت. همچنین مشاهده شد با کاهش هزینه کمبود، مقدار کمبود کاهش و در نتیجه آن هزینه‌های کل شبکه زنجیره تأمین کاهش پیدا کرده است.

برای بهبود مقاله حاضر، پیشنهادهای زیر برای محققین ارائه شده است:

- ۱- در نظر گرفتن مسیریابی وسیله نقلیه در جمع آوری محصولات
- ۲- استفاده از الگوریتم های فرا ابتکاری برای حل مسائل در سایزهای بزرگتر
- ۳- در نظر گرفتن تخفیف نموی در تأمین مواد اولیه برای تولید محصولات جدید

منابع

- Abdallah, T., Diabat, A., & Simchi-Levi, D. (2012). Sustainable supply chain design: a closed-loop formulation and sensitivity analysis. *Production Planning & Control*, 23(2-3), 120-133.
- Amin, S. H., Zhang, G., & Akhtar, P. (2017). Effects of uncertainty on a tire closed-loop supply chain network. *Expert Systems with Applications*, 73, 82-91.
- Amin, S. H., & Baki, F. (2017). A facility location model for global closed-loop supply chain network design. *Applied Mathematical Modelling*, 41, 316-330.
- Diabat, A., Abdallah, T., & Henschel, A. (2015). A closed-loop location-inventory problem with spare parts consideration. *Computers & Operations Research*, 54, 245-256.
- Fathollahi-Fard, A. M., & Hajiaghaei-Keshteli, M. (2018). A stochastic multi-objective model for a closed-loop supply chain with environmental considerations. *Applied Soft Computing*, 69, 232-249.
- Ghahremani-Nahr, J., Kian, R., & Sabet, E. (2019). A robust fuzzy mathematical programming model for the closed-loop supply chain network design and a whale optimization solution algorithm. *Expert Systems with Applications*, 116, 454-471.
- Ghahremani Nahr, J., Kian, R., & Rezazadeh, H. (2018). A modified priority-based encoding for design of a closed-loop supply chain network using a discrete league championship algorithm. *Mathematical Problems in Engineering*, 2018.
- Haddadisakht, A., & Ryan, S. M. (2018). Closed-loop supply chain network design with multiple transportation modes under stochastic demand and uncertain carbon tax. *International Journal of Production Economics*, 195, 118-131.
- Hajiaghaei-Keshteli, M., & Fard, A. M. F. (2018). Sustainable closed-loop supply chain network design with discount supposition. *Neural Computing and Applications*, 1-35.
- Jabbarzadeh, A., Haughton, M., & Khosrojerdi, A. (2018). Closed-loop supply chain network design under disruption risks: A robust approach with real world application. *Computers & Industrial Engineering*, 116, 178-191.
- Kaya, O., & Urek, B. (2016). A mixed integer nonlinear programming model and heuristic solutions for location, inventory and pricing decisions in a closed loop supply chain. *Computers & Operations Research*, 65, 93-103.
- Mardan, E., Govindan, K., Mina, H., & Gholami-Zanjani, S. M. (2019). An accelerated benders decomposition algorithm for a bi-objective green closed loop supply chain network design problem. *Journal of Cleaner Production*.
- Özceylan, E., Demirel, N., Çetinkaya, C., & Demirel, E. (2017). A closed-loop supply chain network design for automotive industry in Turkey. *Computers & industrial engineering*, 113, 727-745.
- Panda, S., Modak, N. M., & Cárdenas-Barrón, L. E. (2017). Coordinating a socially responsible closed-loop supply chain with product recycling. *International Journal of Production Economics*, 188, 11-21.

Saedinia, R., Vahdani, B., Etebari, F., & Nadjafi, B. A. (2019). Robust gasoline closed loop supply chain design with redistricting, service sharing and intra-district service transfer. *Transportation Research Part E: Logistics and Transportation Review*, 123, 121-141.

Sahebjamnia, N., Fathollahi-Fard, A. M., & Hajiaghaei-Keshteli, M. (2018). Sustainable tire closed-loop supply chain network design: Hybrid metaheuristic algorithms for large-scale networks. *Journal of cleaner production*, 196, 273-296.

Soleimani, H., Govindan, K., Saghafi, H., & Jafari, H. (2017). Fuzzy multi-objective sustainable and green closed-loop supply chain network design. *Computers & Industrial Engineering*, 109, 191-203.

Yadegari, E., Alem-Tabriz, A., & Zandieh, M. (2019). A memetic algorithm with a novel neighborhood search and modified solution representation for closed-loop supply chain network design. *Computers & Industrial Engineering*, 128, 418-436.

Yavari, M., & Zaker, H. (2019). An integrated two-layer network model for designing a resilient green-closed loop supply chain of perishable products under disruption. *Journal of Cleaner Production*, 230, 198-218.